

به نام خداوند جان و خرد
کزین برتر اندیشه بر نگذرد



دانشکده برق و کامپیوتر
گروه مهندسی الکترونیک

پایان نامه

برای دریافت درجه کارشناسی ارشد در رشته برق- الکترونیک

عنوان

طراحی و پیاده سازی شتاب دهنده سخت افزاری روی یک
جهت سیستم توموگرافی مقاومت الکتریکی

استاد راهنما

دکتر جواد فرونقی

استاد مشاور

دکتر قادر کریمیان

پژوهشگر

کریم صمدزاده مینی

۱۳۸۷ / ۰۱ / ۱۵

بهمن ۱۳۸۶

۹۷۱۰۴

تشکر و قدردانی

خداؤند متعال را سپاسگزارم که در طول دوران زندگی و تحصیل همیشه بنده را یاری نموده تا بتوانم فراز و نشیب های آن را پشت سر بگذارم و همچنان به فضل و رحمت بیکرانش امیدوار باشم. در این مقطع از تحصیل نیز همچون مقاطع قبل عزیزانی بودند که افتخار شاگردی آنان را داشتم و در این بین نقش بی بدیل استاد گرانقدرم جناب آقای دکتر فروونچی غیر قابل انکار می باشد. ایشان در تمام مقاطع انجام پایان نامه با رهبری فوق العاده خویش که نشان از درایت و آگاهی شان دارد بنده را یاری نمودند.

از مشاوره ارزشمند جناب آقای دکتر کریمیان که در مراحل مختلف راهگشای اینجانب بوده اند تقدیر و تشکر می نمایم.

از جناب آقای دکتر مظفری که زحمت داوری پایان نامه را تقبل نمودند نیز تشکر می نمایم. و در پایان از خداوند منان می خواهم دانشجو بودن را در همه حال نصیب جویندگان واقعی آن فرماید.

نام خانوادگی دانشجو : صمدزمینی	نام : کریم
عنوان پایان نامه: طراحی و پیاده سازی شتاب دهنده سخت افزاری روی یک FPGA جهت سیستم توموگرافی مقاومت الکتریکی	
استاد راهنما : دکتر جواد فرونقی	
استاد مشاور : دکتر قادر کریمیان	
مقطع تحصیلی : کارشناسی ارشد رشته : مهندسی برق گرایش : الکترونیک دانشکده : مهندسی برق و کامپیوتر تاریخ فارغ التحصیلی : ۱۳۸۶/۱۱/۲۳ تعداد صفحه : ۸۹	دانشگاه : تبریز
کلید واژه ها: توموگرافی مقاومت الکتریکی، FPGA، شتاب دهنده سخت افزاری، پردازش موازی، روش المان محدود، ماتریس ژاکوبین، خط لوله، روش گوس-سایدل	
چکیده:	
توموگرافی مقاومت الکتریکی ERT کاربردهای زیادی از جمله ژئوفیزیک دارد. در این سیستم تعیین توزیع مقاومت الکتریکی زیر سطح با استفاده از اندازه گیری ولتاژ روی سطح توسط الکترودهای سیستم انجام می گیرد. این عمل با فروبردن الکترودهایی در روی زمین به صورت ماتریسی یا دورچین و تزریق جریان به آنها و دریافت ولتاژهای متناظر از بقیه الکترودها به عنوان داده های ورودی صورت می گیرد.	
در قسمت بازسازی تصویر از حل عددی معادلات دیفرانسیل مربوطه به روش تفاضل محدود و بهره گیری از الگوریتم حداقل مربعها برای کاهش خطای بین مقادیر اندازه گیری شده و محاسبه شده و در نهایت تصویر توزیع مقاومت الکتریکی به صورت سه بعدی با استفاده ازیکی از دو روش گوس- نیوتون و کوشی - نیوتون بدست می‌آید.	
مراحل ایجاد تصویر توموگرافی به روش مقاومت الکتریکی چهار بلوک می باشد. مرحله اول شامل تشکیل یک دستگاه معادلات پتانسیل می باشد که ضرایب آن توسط روابط کوپلینگ محاسبه می گردد. قدم بعدی حل دستگاه فوق الذکر و پیدا کردن پتانسیل های مربوطه می باشد. مقادیر این پتانسیل ها بعد از عبور از مرحله ژاکوبین مبنای محاسبه مقاومت الکتریکی (یا رسانایی الکتریکی) بلوک هایی است که در نهایت بعد از چندین بار تکرار جهت تصویر سازی از عمق جسم مورد نظر بکار می رود.	

ادامه چکیده پایان نامه

هدف این پایان نامه استفاده از الگوریتم های موازی سازی و پردازش موازی و خط لوله به جهت پیاده کردن یک سیستم بهینه بر روی FPGA به منظور کاهش زمان و افزایش سرعت محاسبات بدون از دست دادن دقت لازم در ایجاد تصویر می باشد.

عملیات سترنگرهای VHDL برای انجام این پروژه در نرم افزار ISE 8.1 شرکت Xilinx انجام شده است. این طرح روی برد XCLX25 شرکت Memec با تراشه Virtex-4LX25 شرکت Modelsim6.0 شرکت Xilinx پیاده سازی گردید. شبیه سازی مدار پیاده سازی شده نیز توسط نرم افزار Modelsim6.0 انجام شده است.

مقدار قطعات استفاده شده حدود ۳۰٪ قطعات موجود بوده ونتیجه شبیه سازی نشان می دهد که زمان فرایند برای یک بار تکرار جهت تصویر سازی ERT و به ازای یک بار تکرار جریان ۱۶/۸ میلی ثانیه می باشد.

فهرست مطالب

عنوان	صفحه
مقدمه	۱
فصل اول : بررسی منابع	۴
۱- توموگرافی مقاومت الکتریکی سه بعدی	۵
۲- چیدمان الکترودها در توموگرافی مقاومت الکتریکی سه بعدی	۵
۳- ساختار بازسازی تصویر در ERT	۷
۴- طراحی نرم افزار تصویرساز	۱۰
۵- حل مستقیم مسئله (Forward Solver)	۱۱
۶- مش بندي	۱۱
۷- گستره سازی و حل بوسيله عناصر حجمي	۱۲
۸- محاسبه زاکوبین	۱۳
۹- حل مسئله معکوس	۱۵
۱۰- نتایج سه بعدی با مدل و المان مدفون شده T	۱۵
۱۱- مشخصات و قابلیت های FPGA	۱۷
۱۲- SLICE و CLB	۱۸
۱۳- MEMORY	۲۱
۱۴- DSP48	۲۶
فصل دوم : مواد و روشها	۲۹
۱- مراحل تشکیل تصویر در ERT	۳۰

۳۱	- تولید ضرایب کوپلینگ	۲-۲
۳۶ - تولید dz, dy, dx	۱-۲-۲
۳۷ - تولید آرایش‌های مختلف از dz, dy, dx ها	۲-۲-۲
۳۷ - حافظه ۱	۳-۲-۲
۳۸ - ضرب و جمع کننده ها	۴-۲-۲
۳۹ - حافظه ۲	۵-۲-۲
۳۹ - تولید r^2	۶-۲-۲
۴۰ - D, D_{exp}	۷-۲-۲
۴۳ - تقسیم کننده باینری	۸-۲-۲
۴۴ - تولید C_{diag}	۹-۲-۲
۴۶ - مرحله حل دستگاه معادلات	۳-۲
۴۶ - روش‌های حل دستگاه معادلات	۳-۲
۴۷ - حل معادله به روش گوس-سایدل	۲-۳-۲
۴۸ - پیاده سازی بلوک حل دستگاه معادلات	۳-۳-۲
۵۰ - چیدمان حافظه در بلوک حل دستگاه معادلات	۳-۲
۵۱ - بلوک تولید ماتریس ژاکوبین	۴-۲
۵۱ - بیان مسئله ژاکوبین	۴-۲
۵۲ - ماتریس ژاکوبین	۴-۲
۵۲ - پیاده سازی ژاکوبین	۳-۴-۲
۵۵ - طراحی قسمت کنترل ژاکوبین	۴-۲
۵۶ - طراحی قسمت گرادیان	۴-۵-۲
۵۹ - نتایج و بحث	۳

۶۰ - نتایج روشها	۱-۳
۶۰ - سیستم اعداد و نرمالیزه کردن داده ها	۱-۳
۶۱ - ابزارهای سنتز و تحلیل و شبیه سازی مدارات	۲-۱-۳

۶۱	۳-۱-۳- سنتز بلوک ضرایب کوپلینگ
۶۳	۴-۱-۳- سنتز بلوک تولید و حل دستگاه FORWARD SOLVER
۶۶	۵-۱-۳- نتایج شبیه سازی و سنتز بلوک ژاکوبین
۶۸	۶-۱-۳- نتایج کل شتاب دهنده سخت افزاری
۷۰	۲-۲-۳- نتیجه گیری و پیشنهادات
۷۰	۱-۲-۳- نتیجه گیری ها
۷۱	۲-۲-۳- پیشنهادات
۷۳	منابع و مراجع
۷۶	A ضمیمه
۷۸	B ضمیمه
۸۵	C ضمیمه
۸۹	چکیده انگلیسی

فهرست شکل ها

صفحه	شکل
۶	شکل (۱-۱). آرایه قطب-قطب به فرم دورچین
۷	شکل (۲-۱). بلوک بندی مدل برای سیستم ۱۶ الکترودی دو بعدی
۹	شکل (۳-۱). فلوچارت باز سازی تصویر در توموگرافی مقاومت الکتریکی
۱۱	شکل (۴-۱). مش بندی مدل
۱۵	شکل (۵-۱). ماتریس ژاکوبین مدل همگن
۱۶	شکل (۶-۱). مدل شبیه سازی شده T
۱۷	شکل (۷-۱). تصویر بازسازی شده مدل T
۱۸	شکل (۸-۱). Xilinx FPGA شرکت
۱۹	شکل (۹-۱). عناصر حافظه در FPGA
۲۰	شکل (۱۰-۱). بلوک CLB در FPGA
۲۰	شکل (۱۱-۱). دیاگرام زمانی عملکرد Slice ها
۲۱	شکل (۱۲-۱). دیاگرام زمانی Distributed RAM
۲۲	شکل (۱۳-۱). بلوک حافظه در FPGA
۲۳	شکل (۱۴-۱). ساختار بلوک حافظه در FPGA
۲۳	شکل (۱۵-۱). دو بلوک حافظه موازی
۲۴	شکل (۱۶-۱). بلوک حافظه به صورت FIFO
۲۵	شکل (۱۷-۱). دیاگرام زمانی عملکرد حافظه در مرد اول
۲۵	شکل (۱۸-۱). دیاگرام زمانی عملکرد حافظه در مرد دوم
۲۶	شکل (۱۹-۱). بلوک DSP48
۲۷	شکل (۲۰-۱). کنترل بلوک DSP48

..... ۲۷ شکل (۱-۱). دیاگرام زمانی بلوک DSP48
..... ۳۱ شکل (۱-۲). مراحل ایجاد تصویر به روش ERT
..... ۳۳ شکل (۲-۱). نحوه قرار گرفتن ضرایب در داخل ماتریس
..... ۳۵ شکل (۲-۲). بلوک دیاگرام تولید ضرایب کوپلینگ
..... ۳۸ شکل (۴-۲). دیاگرام داخلی بخشن ضرب و جمع کننده ها
..... ۴۰ شکل (۵-۲). دیاگرام داخلی تولید r^2
..... ۴۱ شکل (۶-۲). دیاگرام داخلی تولید D
..... ۴۲ شکل (۷-۲). دیاگرام تولید D_{exp}
..... ۴۴ شکل (۸-۲). نمودار تقسیم کننده باینری ۴ بیتی
..... ۴۵ شکل (۹-۲). دیاگرام تولید C_{diag}
..... ۴۹ شکل (۱۰-۲). دیاگرام حل معادلات پتانسیل به روش گوس سایدل
..... ۵۳ شکل (۱۱-۲). دیاگرام تولید ضرایب ژاکوبین
..... ۵۴ شکل (۱۲-۲). بلوکی با مقاومت ویژه ρ
..... ۵۷ شکل (۱۳-۲). دیاگرام داخلی قسمت گرادیان
..... ۶۲ شکل (۱-۳). نتایج شبیه سازی بلوک تولید ضرایب کوپلینگ
..... ۶۴ شکل (۲-۳). نتایج شبیه سازی ساخت افزار آنالیزر الکترواستاتیکی
..... ۶۵ شکل (۳-۳). نتایج نرم افزار Modelsim6.0 برای چند مجھول نمونه
..... ۶۶ شکل (۴-۳). درصد اختلاف نسبی بین نتایج MATLAB و FPGA برای بلوک آنالیزr الکترواستاتیکی
..... ۶۷ شکل (۵-۳). نتایج شبیه سازی بلوک ژاکوبین
..... ۶۸ شکل (۶-۳). خطای نسبی برای کل بازه مکانی ژاکوبین

فهرست جداول

صفحه

جدول

۱۷.....	جدول(۱-۱). مشخصات ساختاری خانواده Virtex4
۲۱.....	جدول(۲-۱). محتويات CLB خانواده Virtex4
۶۲.....	جدول(۱-۳). استفاده از منابع سخت افزاري FPGA برای بلوک تولید ضرایب کوپلینگ
۶۴.....	جدول (۲-۳). خلاصه سخت افزار استفاده شده روی FPGA بلوک آنالایزر الکترواستاتیکی
۶۵.....	جدول (۳-۳). مقایسه نتایج Modelsim6.0 و MATLAB7.1
۶۷.....	جدول(۳-۴). مقایسه مقدار عددی بدست آمده از بلوک ژاکوبین برای یک بازه محدود مکانی بین
۶۸.....	جدول (۳-۵). قطعات موجود و استفاده شده FPGA بلوک ژاکوبین
۶۹.....	جدول (۳-۶). نتایج سنتزکل شتاب دهنده سخت افزاری

مقدمه

هدف توموگرافی مقاومت الکتریکی^۱ تعیین توزیع مقاومت ویژه الکتریکی زیر سطح زمین با استفاده از اندازه گیری های روی سطح زمین می باشد. از روی این اندازه گیریها مقاومت ویژه زیر سطح تخمین زده می شود. مقاومت ویژه زمین با تغییر پارامترهای زمین مثل مواد معدنی، رطوبت، درجه اشباع آب در سنگها تغییر می نمایند. از توموگرافی مقاومت الکتریکی برای اکتشاف آب، معدن یابی، اکتشاف نفت، تحقیقات زمین شناسی، کاربردهای پزشکی و ... استفاده می شود. بدلیل اینکه ساختارهای زمین شناسی در طبیعت سه بعدی است باید از پیمایش مقاومت سه بعدی برای تفسیر یک مدل سه بعدی استفاده شود و در حال حاضر پیمایش سه بعدی به دو دلیل موضوع تحقیقات فعالی می باشد:

- ۱- توسعه مقاومت سنج های چند کاناله که سرعت نمونه برداری را افزایش داده اند.
- ۲- توسعه میکرو کامپیوترهای با سرعت بالا.

بازسازی تصویر با فروبردن الکترودهایی در روی زمین به صورت ماتریسی یا دورچین و تزریق جریان به آنها و دریافت ولتاژهای متناظر از بقیه الکترودها به عنوان داده های ورودی صورت می گیرد و با استفاده از اندازه گیری ولتاژ روی سطح زمین تصویر زیر سطح زمین بدست می آید. به این ترتیب که با استفاده از داده های بدست آمده از روی سطح و شبیه سازی مدل مشابه با ناحیه مورد پیمایش، در کامپیوتر سعی در مینیمم نمودن تفاضل بین داده اندازه گیری شده و حساب شده از مدل می نماییم و از این طریق به پارامترهای مجهول یعنی مقاومت ویژه الکتریکی سه بعدی زیر زمین دست می یابیم.

مراحل ایجاد تصویر توموگرافی به روش مقاومت الکتریکی چهار بلوک می باشد. مرحله اول شامل تشکیل یک دستگاه معادلات پتانسیل می باشد که ضرایب آن توسط روابط کوپلینگ محاسبه می گردد. قدم بعدی حل دستگاه فوق الذکر و پیدا کردن پتانسیل های مربوطه می باشد. مقادیر این پتانسیل ها بعد از عبور از مرحله زاکوبین مبنای محاسبه مقاومت الکتریکی (یا رسانایی الکتریکی) بلوک هایی است که در نهایت بعد از چندین بار تکرار جهت تصویر سازی از عمق جسم مورد نظر بکار می رود.

¹ ERT

راههای زیادی برای کاهش زمان محاسبه تصویر سازی در ERT وجود دارد که استفاده از روش پردازش موازی^۲ و خط لوله^۳ روی FPGA در این پایان نامه بکار گرفته شد. در سالهای اخیر کار بر روی پیاده سازی شتاب دهنده سخت افزاری^۴ مبتنی بر FPGA موضوع تحقیقات فعالی می باشد. اصولاً تنوع و قابلیت های FPGA علی الخصوص انواع جدید آن که دارای فرکانس پالس ساعت 600MHz بوده و دارای تعداد بلوک های محاسباتی DSP و حافظه های BRAM قابل توجهی نیز می باشند باعث گردیده طراحی و تولید مدارات با تعداد متوسط و همچنین در مرحله نمونه سازی بسیار مورد توجه قرار گیرد.

ساختارهایی که با پردازش تعداد زیادی داده سروکار داریم بسیار مستعد پیاده سازی بصورت خط لوله می باشند. همینطور اکثر فرایندهای فیزیکی که به جای حل تحلیلی مجبور هستیم به سراغ حل عددی معادلات دیفرانسیل، انتگرال و .. برویم، امکان موازی سازی مناسبی را فراهم می نمایند. همیشه در فرایند موازی سازی و خط لوله، پیدا کردن نقطه بهینه بین افزایش سخت افزار جهت تعداد المان های خط لوله و مسیر های موازی و همچنین زمان انجام محاسبات، چالش اصلی می باشد.

این پایان نامه در ادامه پایان نامه آقای حمید سلطانی انجام و سرعت انجام محاسبات بین نرم افزارهای محاسباتی همچون MATLAB با عملکرد FPGA بررسی گردیده است. نتایج سترن و شبیه سازی هر بلوک از ERT بصورت مجزا مورد بررسی قرار گرفته و در نهایت دیاگرام های کل شتاب دهنده سخت افزاری که شامل همه بلوک های پیاده سازی شده می باشد، نشان می دهد سرعت انجام محاسبات در روش موازی و خط لوله به طرز چشمگیری افزایش پیدا کرده است.

چهار مقاله به شرح زیر از پایان نامه مذکور حاصل گردید:

۱- مقاله تحت عنوان "A Hardware Accelerator for Electrical Resistance

"که برای کنفرانس WCIPT ۵ سال ۲۰۰۷ در کشور نروژ

پذیرفته شد.

۲- مقاله تحت عنوان " طراحی و پیاده سازی یک آنالیزر الکترواستاتیکی بر روی یک

FPGA " برای سیزدهمین کنفرانس بین المللی کامپیوتر انجمان کامپیوتر ایران csicc2008

، که توسط دانشگاه صنعتی شریف در اسفند ۸۶ در جزیره کیش برگزار میگردد، پذیرفته شد.

² Parallel processing

³ Pipeline

⁴ Hardware accelerator

۳- مقاله تحت عنوان "طراحی و پیاده سازی سخت افزار ایجاد ماتریس ژاکوبین روی یک FPGA" برای شانزدهمین کنفرانس مهندسی برق ایران ICEE که در اردیبهشت ۸۷ در دانشگاه تربیت مدرس برگزار می گردد، ارایه گردید.

۴- مقاله تحت عنوان "Reconfigurable Computing Platform for Real-Time Image Reconstruction in 3-D Electrical Resistance Tomography" برای مجله Measurement , Science and Technology ISI می باشد، ارایه گردید.

فصل اول

بررسی منابع

(پایه های نظری و پیشینه پژوهش)

۱-۱- توموگرافی مقاومت الکتریکی سه بعدی

قانون فیزیکی اساسی استفاده شده در توموگرافی مقاومت الکتریکی (ERT) شکل برداری قانون اهم برای چگالی جریان الکتریکی در زمین می باشد. این معادله در شکل برداری در یک حجم پیوسته عبارتست از :

$$\vec{J} = \sigma(x, y, z) \vec{E} \quad (1-1)$$

که در آن σ رسانایی حجمی و J چگالی جریان و E شدت میدان الکتریکی می باشد. در عمل پیمایش های ژئوفیزیکی بجای رسانایی σ از $\sigma(x, y, z) = 1 / \rho(x, y, z)$ بطور معمول استفاده می شود. از طرفی اندازه گیریهای ما مبتنی بر بدست آوردن مقدار ولتاژ روی سطح می باشد. رابطه بین پتانسیل الکتریکی و شدت میدان الکتریکی بواسیله رابطه زیر داده می شود:

$$E = -\nabla V \quad (2-1)$$

از ترکیب معادلات (1-1) و (2-1) معادله زیر بدست می آید:

$$\vec{J} = -\sigma(x, y, z) \nabla V \quad (3-1)$$

حال اگر منبع جریان روی سطح و در نقطه (x_s, y_s, z_s) قرار داشته باشد قانون پیوستگی جریان از رابطه زیر بدست می آید:

$$\nabla \cdot J = I \delta(x - x_s) \delta(y - y_s) \delta(z - z_s) \quad (4-1)$$

که I تابع دلتای دیراک می باشد. بنابر این معادله (3-1) را دوباره می توان بازنویسی کرد

$$\nabla \cdot [-\sigma(x, y, z) \nabla V(x, y, z)] = I \delta(x - x_s) \delta(y - y_s) \delta(z - z_s) \quad (5-1)$$

این معادله اساسی می باشد که توزیع ولتاژ در زمین را به واسطه منبع جریان نقطه ای و در نظر گرفتن (x, y, z) بدست می دهد و روشایی برای حل این معادله وجود دارد. مسئله بدست آوردن توزیع ولتاژ از روی معادله (5-1) مدل نمودن مستقیم مسئله نامیده می شود^۵.

۲-۱- چیدمان الکترودها در توموگرافی مقاومت الکتریکی سه بعدی

برای بدست آوردن هرداده در هر مرحله اندازه گیری چهار الکترود را از بین الکترودهای فروبرده شده در زمین انتخاب و از یک زوج آنها جریان به زمین تزریق و از زوج دیگر اختلاف ولتاژ ایجاد شده را اندازه گیری می نماییم. برای توموگرافی سه بعدی اغلب از آرایه های قطب-قطب^۰، قطب-

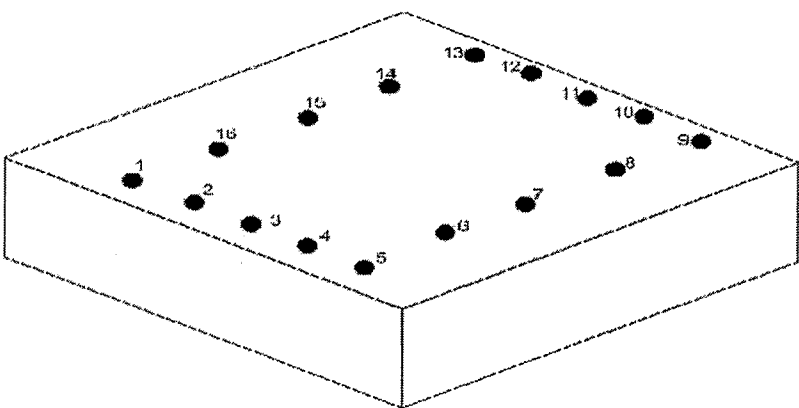
^۵ Pole-Pole

دوقطبی^۶، دوقطبی-دوقطبی^۷ استفاده می شود که هر کدام مزایا و معایب خاص خود را دارند. آرایه مورد استفاده در این کار قطب-قطب می باشد.

آرایه انتخاب شده قطب-قطب در عمل دارای دو الکترود است. دو الکترود دیگر، الکترود دوردست^۸ هستند که در فاصله تقریبا بیست برابر دو الکترود اصلی قرار می گیرند. این آرایه در پیمایش‌های کوچک اسکن می کنند، خصوصا برای سیستمهای سه بعدی استفاده می شود.^[۳]

در این نوع آرایه هر الکترود به نوبت برای الکترود جریان مورد استفاده قرار می گیرد و ولتاژ در بقیه الکترودها اندازه گیری می شوند توجه داریم که بخاطر عمل مقابل، می توان ولتاژ الکترودهایی با شماره های بالاتر از الکترود جریان را اندازه گیری نمود.^[۴]

شکل(۱-۱) یک ترکیب دورچین از الکترود را به روش قطب-قطب نمایش می دهد. برای راحتی الکترودها با فاصله واحد از یکدیگر در جهت y ، x قرار میگیرند.



شکل(۱-۱). آرایه قطب-قطب به فرم دورچین

برای چنین آرایشی تعداد اندازه گیری n_{\max} ، با تعداد n_e الکترود برابر است با:

$$n_{\max} = \frac{n_e(n_e - 1)}{2} \quad (n_e = 16, n_{\max} = 120) \quad (6-1)$$

برای شبکه های کمتر از 12×12 الکترود آرایه قطب-قطب در مقایسه با آرایه های دیگر در واقع تعداد بیشتری اندازه گیری مستقل دارد و یک پوشش داده افقی بهتری در مقایسه با آرایه های

⁶ Pole-Dipole

⁷ Dipole-Dipole

⁸ Remote

دیگر فراهم می نماید [۳] . این یک آرایه مطلوب برای تصویربرداری با فاصله کوچک بین الکتروودها (کمتر از ۵ متر) می باشد.

آرایه دور چین دارای مزایای زیر می باشد:

- ۱- تصویربرداری از زیر سطوحی که امکان کار گذاری الکتروود در روی سطح آن امکان پذیر نمی باشد.
- ۲- کاهش بسیار زیاد تعداد اندازه گیری ها که بطورنسبتاً زیادی سرعت را هم در قسمت اندازه گیری و هم در قسمت نرم افزار تصویرسازی، کاهش میدهد.

۱-۳- ساختار بازسازی تصویر در ERT

در این پروژه با استفاده از اندازه گیری ولتاژ روی سطح زمین تصویر زیر سطح زمین بدست می آید. به این ترتیب که به استفاده از داده های بدست آمده از روی سطح و شبیه سازی مدل مشابه با ناحیه مورد پیمایش، در کامپیوتر سعی در مینیمم نمودن تفاضل بین داده اندازه گیری شده و حساب شده از مدل می نماییم و از این طریق به پارامترهای معجهول یعنی مقاومت ویژه الکتریکی سه بعدی زیر زمین دست می یابیم.

فرض می کنیم مدل استفاده شده در پروسه معکوس سازی داده به تصویر، شامل یک تعداد از بلوك های مربعی با مقاومت ویژه ثابت مطابق شکل (۱-۲) می باشد.

1	2	3	4	5	6	7	8	9	10	11	12	13	14	15	16
P ₁	P ₂	P ₃	P ₄	P ₅	P ₆	P ₇	P ₈	P ₉	P ₁₀	P ₁₁	P ₁₂	P ₁₃			
P ₁₄	P ₁₅	P ₁₆	P ₁₇	P ₁₈	P ₁₉	P ₂₀	P ₂₁	P ₂₂	P ₂₃	P ₂₄	P ₂₅	P ₂₆			
P ₂₇		P ₂₈	P ₂₉	P ₃₀	P ₃₁	P ₃₂	P ₃₃	P ₃₄	P ₃₅	P ₃₆		P ₃₇			
P ₃₈		P ₃₉	P ₄₀	P ₄₁	P ₄₂	P ₄₃	P ₄₄	P ₄₅			P ₄₆				
P ₄₇		P ₄₈	P ₄₉	P ₅₀	P ₅₁	P ₅₂			P ₅₃						

شکل (۱-۲). بلوك بندی مدل برای سیستم ۱۶ الکتروودی دو بعدی

حال مقاومت ویژه های صحیح هر بلوک را می توان با توجه به داده های اندازه گیری شده از روش حداقل مربع ها^۹ بدست آورد. اساس این روش مینیمم کردن خطای بین داده اندازه گیری شده و پاسخ محاسبه شده از مدل می باشد. نهایتاً معادله حداقل مربع ها بصورت زیر بدست می آید[۵].

$$\Delta \rho = (J^T J + \lambda C^T C)^{-1} J^T \Delta V \quad (7-1)$$

که در آن J ماتریس ژاکوبین، λ ضریب میرایی، ΔV ماتریس تفاضل بین داده اندازه گیری شده و محاسبه شده می باشد و $\Delta \rho$ ماتریس تصحیح پارامترهای مدل می باشد که ما بدنبال آن هستیم. پرسه بازسازی تصویر به قسمت های زیر تقسیم می شود:

۱- محاسبه داده ولتاژ از حل عددی معادله (۵-۱) که از روش تفاضل محدود در این پروژه استفاده شده است[۶].

۲- محاسبه ماتریس ژاکوبین که شامل مشتق های جزیی می باشد.

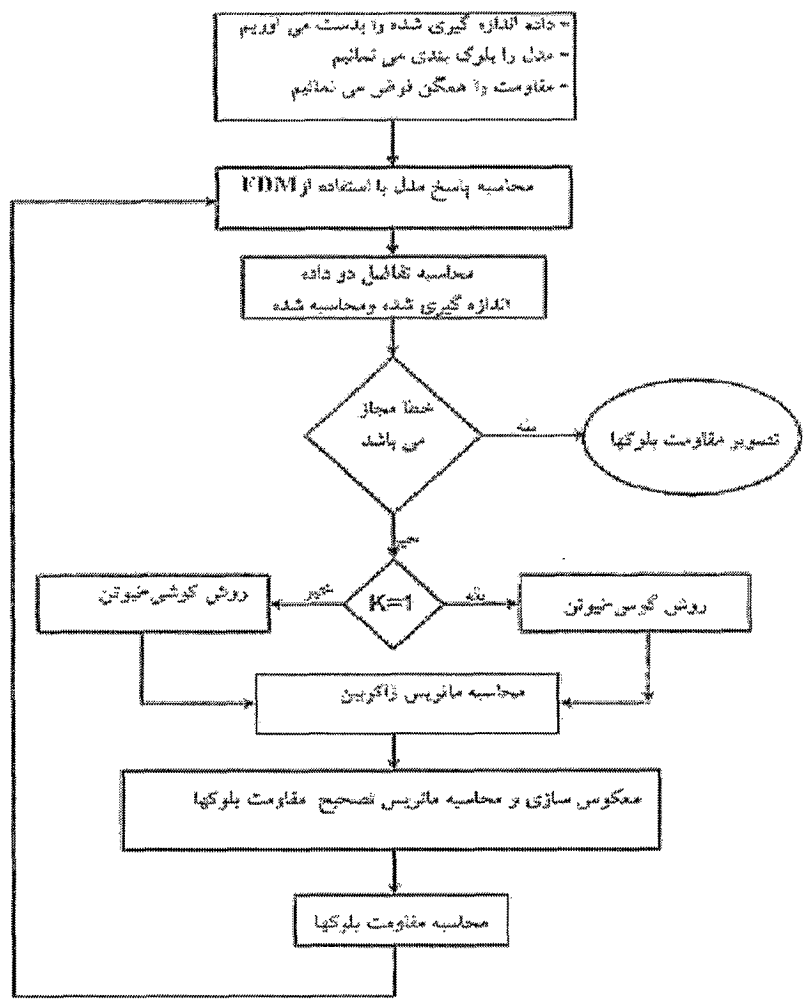
۳- حل معادلات خطی بدست آمده از (۷-۱).

دو قسمت اول مراحل وقت گیر مسئله می باشد. برای بدست آوردن ماتریس ژاکوبین با در نظر گرفتن معادله (۳-۱) تغییر ولتاژ ایجاد شده بر اثر تغییر در مقاومت ویژه زیر سطحی بلوک فرضی عبارتست از:

$$\frac{\partial V}{\partial \rho} = \int \int \int J \cdot J' dx dy dz, \quad (8-1)$$

که در آن J به ترتیب چگالی جریان در بلوک می باشد زمانی که جریان از محل مورد نظر تزریق شده و J' حالتی است که الکترودهای جریان و ولتاژ تعویض شده باشند. الگوریتم کلی بدست آوردن تصویر در ERT مطابق شکل (۳-۱) به ترتیب زیر است:

^۹ Least square



شكل(۱-۳). فلوچارت باز سازی تصویر در توموگرافی مقاومت الکتریکی

- ۱- یک حدس اولیه برای پارامترهای مدل (مقاومت ویژه ظاهری) که معمولاً در شروع محیط را همگن با مقدار ρ_0 در نظر می گیریم.
- ۲- محاسبه پاسخ مستقیم مدل ^{۱۰} $F(\rho_0)$ یعنی (ρ_0) .
- ۳- محاسبه ماتریس ژاکوبین.
- ۴- بدست آوردن ماتریس $\Delta\rho_0$ با معکوس نمودن معادله(۱-۷).

^{۱۰} Forward Solver